

16 ○ 原子核の道状構造

P 3

中津川洋平

西田義人

渡邊直樹

庄司幸平



目次

動機

先行実験について

実験の立案

概要

理論

クラスター模型

回転バンド

角運動量と角分布

実験

考察

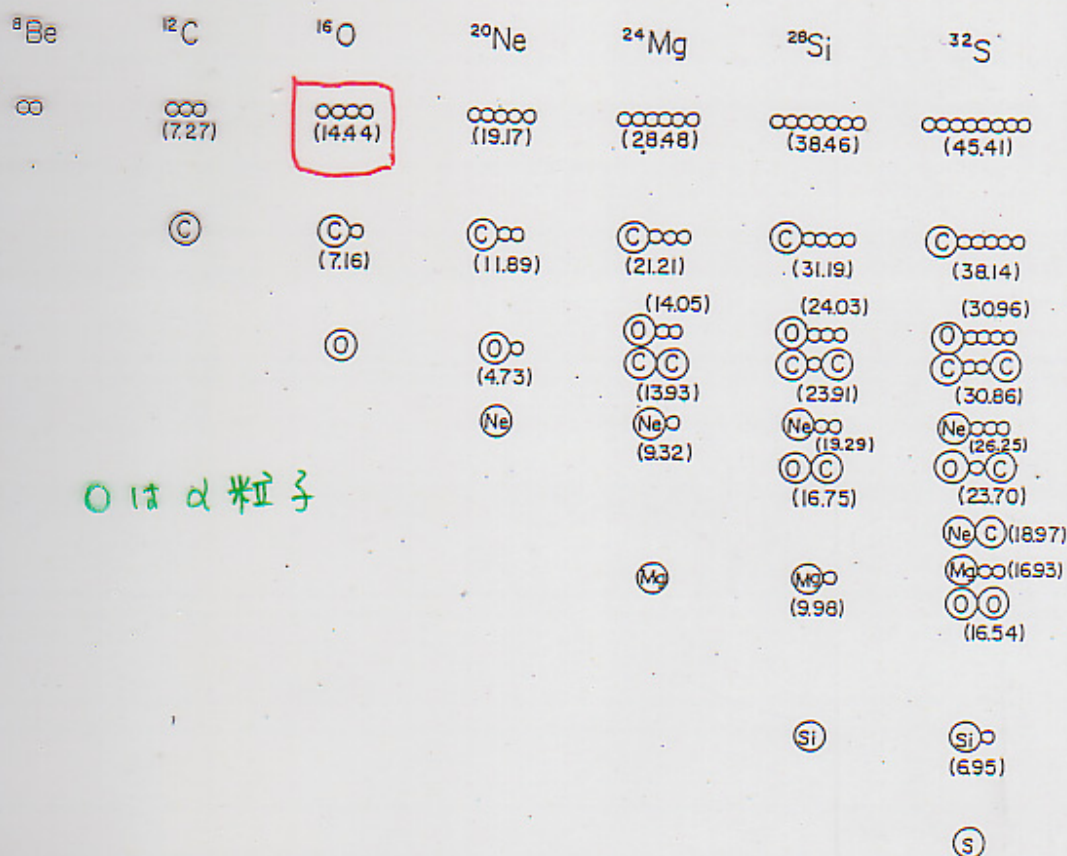
結論

今後の展望

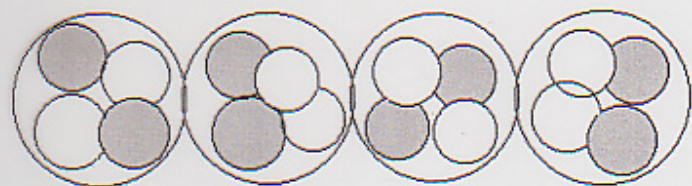
動機

原子核の構造についてクラスター模型といわれるものがある

Ikeda ダイアグラムによれば、 ^{16}O 原子核は4個の α がサブユニットとして存在する α クラスター構造をとることができる



^{16}O 原子核の鎖状構造



○ 陽子

○ 中性子

まるで4つの α 粒子が鎖状に
繋がっているかのような構造

今回の実験では…

原子核の慣性モーメントを測定



原子核が α クラスター毎に分かれているのは見れ
ないが

原子核が細長く変形した構造は見れるはず

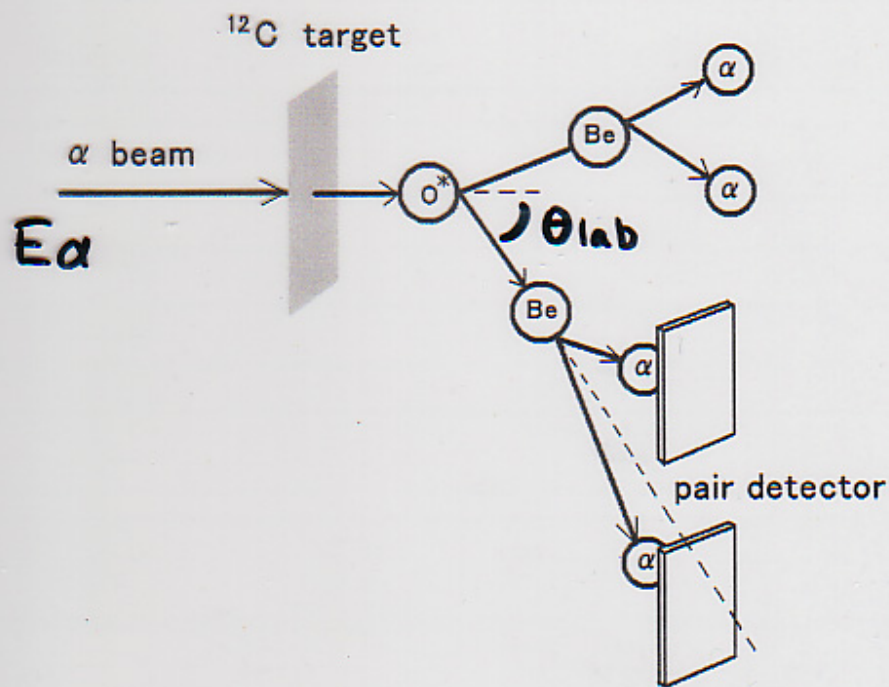


变形核

先行実験 (P.Chevallier他, Phys. Rev. 160, 827(1967))

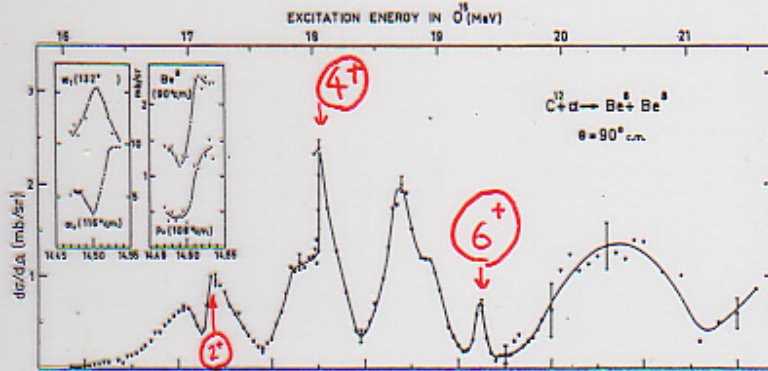
我々の行った実験の立案段階で参考とした実験である

概要

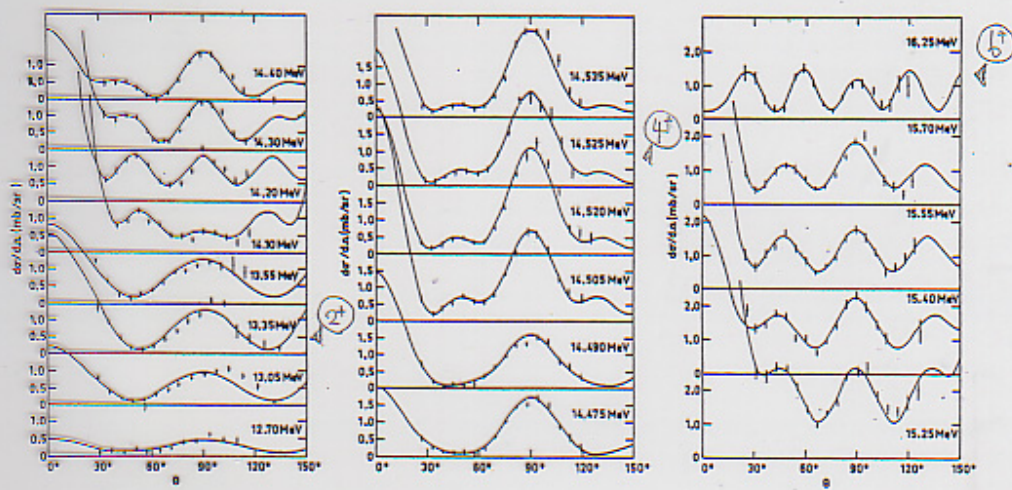


pair detectorによる2 coincidence測定

(1) θ_{lab} を固定したまま E_α を変えて測定、励起関数を求める
 ⇒ O^* の励起エネルギー



(2) E_α を固定したまま θ_{lab} を変えて測定、 $O^* \rightarrow Be + Be$ の角度分布を求める
 ⇒ O^* の各励起準位の角運動量

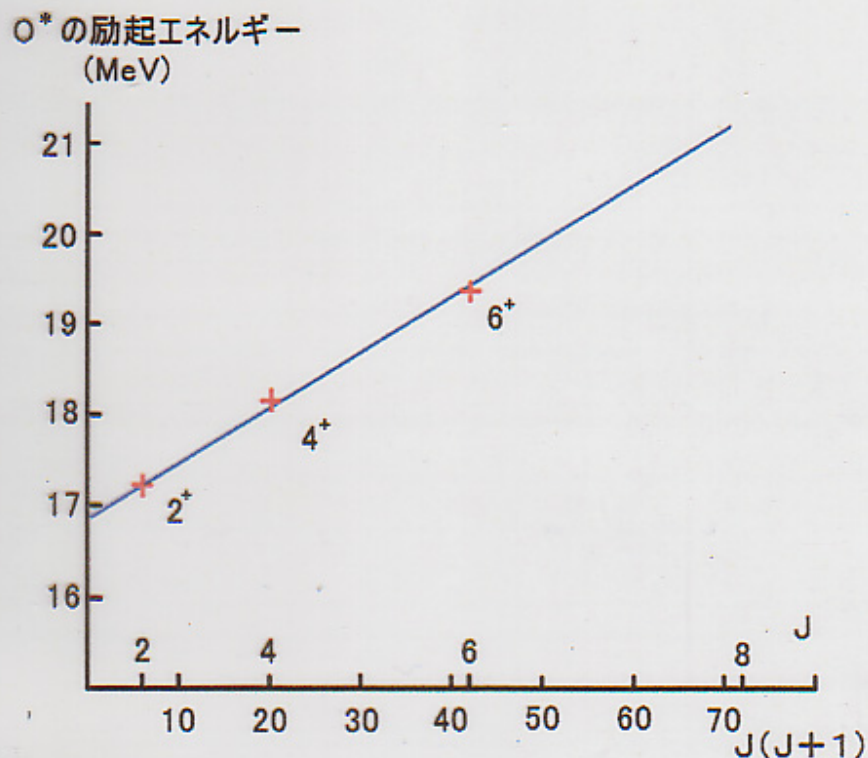


(3) 励起エネルギー、角運動量から、その励起準位にある O の慣性モーメントを算出

先行実験の結果

(1) O は角運動量 $2^+, 4^+, 6^+$ を持つ励起準位が存在する。

(2) その各準位の慣性モーメントは互いに等しく、 ^{16}O が球と仮定した場合の値の5倍とかなり大きい



$$E_J - E_0 = \frac{\hbar^2}{2\Theta} J(J+1)$$

先行実験の結論

Oの $2^+, 4^+, 6^+$ の励起状態は、慣性モーメントが大きく、4つの α からなる鎖状構造をしていると推定され、これらの状態は一連の回転バンド構造というものを構成している



我々の実験は、 $^{12}\text{C}(^6\text{Li}, \text{d})^{16}\text{O}^*$ 反応を用いて、これと同じ結論を得ることを目的とする

実験の立案

なぜ $^{12}\text{C}(^{6}\text{Li},\text{d})^{16}\text{O}^*$ 反応を用いるのか

見たい ^{16}O の励起準位(先行実験より引用)

角運動量	励起エネルギー (Mev)
2^+	17.197
4^+	18.016
6^+	19.319

$^{16}\text{O}^*$ のつくり方の検討

• $\text{A} + \text{B} \rightarrow ^{16}\text{O}^*$

1. $\text{p} + ^{15}\text{N}$
2. $\text{d} + ^{14}\text{N}$
3. $^3\text{He} + ^{13}\text{C}$
4. $\alpha + ^{12}\text{C}$
5. $^{6}\text{Li} + ^{10}\text{B}$

Q値の検討 \Rightarrow 2,3,5. は Q 値が大きすぎる

角運動量の検討 \Rightarrow p 加速では足りない
(古典的に)

$^{12}\text{C}, ^{15}\text{N}$ 加速 \Rightarrow 必要なエネルギーに加速できない

タンデムの都合 \Rightarrow α 加速はできない

実験の立案 ($^{16}\text{O}^*$ のつくり方の検討)



タンデムでは ^6Li , ^7Li が加速できる

(加速エネルギーは 9~18Mev, charge state +2)

1. $^{12}\text{C}(^6\text{Li}, \text{d})^{16}\text{O}^*$
2. $^{12}\text{C}(^7\text{Li}, \text{t})^{16}\text{O}^*$
3. $^{14}\text{N}(^6\text{Li}, \alpha)^{16}\text{O}^*$

の 3 つの反応について検討した (見たい ^{16}O の励起エネルギー
は 17.197~19.139Mev)

1. 最大 17.5Mev \Rightarrow 足りない
2. 最大 16.0Mev \Rightarrow 足りない
3. 最大 31.5Mev \Rightarrow O.K.

↓
 $^{14}\text{N}(^6\text{Li}, \alpha)^{16}\text{O}^*$ を使いたい

実は Li ビームのエネルギーは 12~24Mev (charge state +3 の方が多かった)

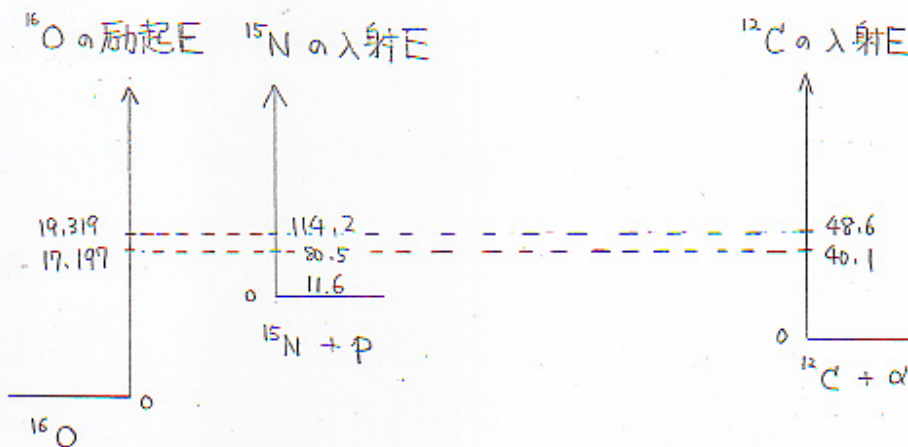
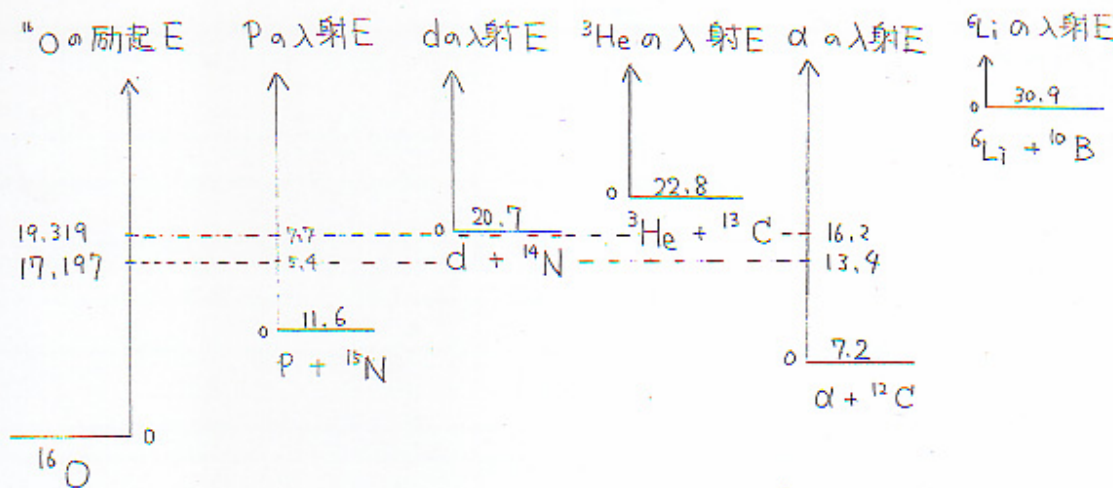
1. 最大 21.2Mev \Rightarrow O.K.
2. 最大 20.4Mev \Rightarrow O.K.

本実験では ^{14}N 標的が間に合わず $^{12}(^6\text{Li}, \text{d})^{16}\text{O}^*$ を用いることになった

C

実験の立案

Q値の検討 (単位は MeV)

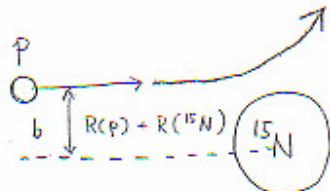


実験の立案 角運動量の検討(古典的)

角運動量 $\sim pb$

換算質量

$$\mu = \frac{M(p)M(^{15}N)}{M(p) + M(^{15}N)}$$



重心系エネルギー -

$$E_{cm} = \frac{M(^{15}N)}{M(p) + M(^{15}N)} E(p)$$

角運動量は

$$l\hbar \sim \sqrt{2\mu E_{cm}} \left(R(p) + R(^{15}N) \right) + \underbrace{\frac{\hbar}{2}}_{p\text{のスピン}} + \underbrace{\frac{\hbar}{2}}_{^{15}N\text{のスピン}}$$

$$l \sim 3.4 \rightarrow 6^+ \text{ 状態は}$$

見れなそう。

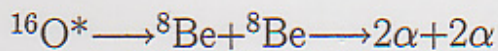
概要

原子核が鎖状に変形していることを検証するための材料として、原子核の慣性モーメントを知りたい

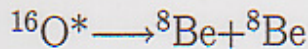


(1) $^{12}\text{C}(^6\text{Li}, \text{d})^{16}\text{O}$ によって、 ^{16}O の励起状態をつくる

(2)



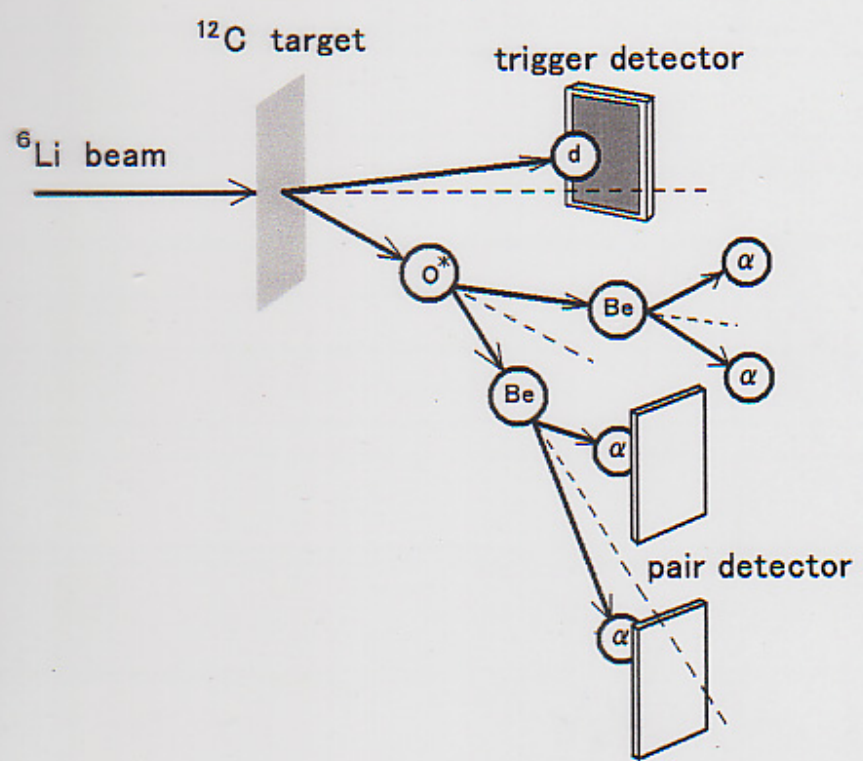
で出てくる 2α を coincidence 測定することによって

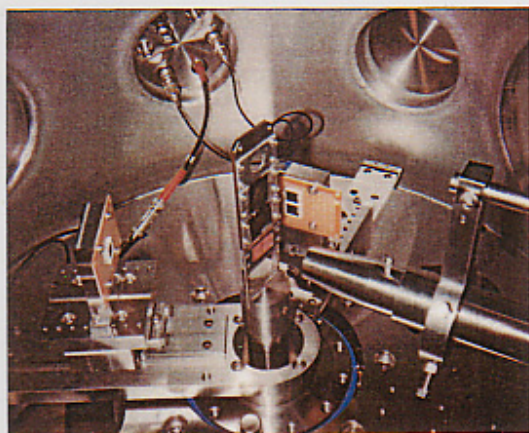
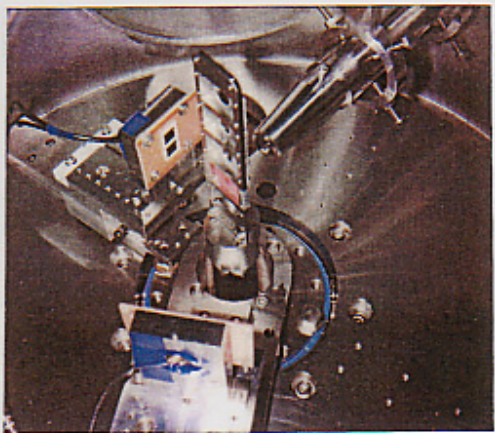


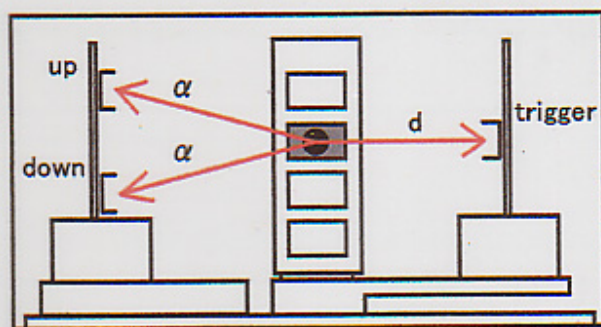
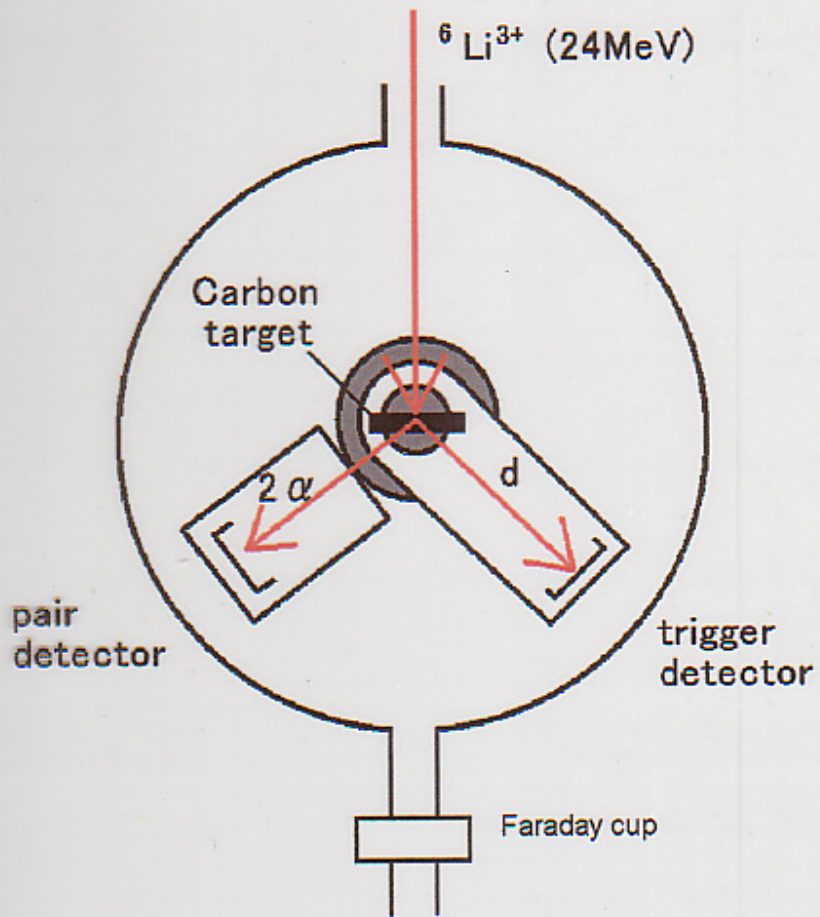
の崩壊の角分布を測定する

(3) 角分布より得られる $^{16}\text{O}^*$ の角運動量、及び励起エネルギーから慣性モーメントを算出

(4) $^{16}\text{O}^*$ 原子核の変形についての考察







理論

クラスター模型

一般に原子核は、ほぼ一定の密度の液滴状の多核子系であると考えることができる

しかし、原子核に幾らかのエネルギーを加えると、幾つかの核子のかたまりに分割される



原子核が核子のクラスターによって構成されているという描像も成立しうる

この、いわば‘分子的描像’に立脚して原子核を取り扱うのが、**クラスター模型**である

